

ISSN 1000-0933
CN 11-2031/Q

生态学报

Acta Ecologica Sinica



第33卷 第3期 Vol.33 No.3 2013

中国生态学学会
中国科学院生态环境研究中心
科学出版社

主办
出版



中国科学院科学出版基金资助出版

生态学报 (SHENTAI XUEBAO)

第33卷 第3期 2013年2月 (半月刊)

目 次

生态系统服务功能模拟与管理

- 保障自然资本与人类福祉:中国的创新与影响 Gretchen C. Daily, 欧阳志云, 郑 华, 等 (669)
建立我国生态补偿机制的思路与措施 欧阳志云, 郑 华, 岳 平 (686)
区域生态合作机制下的可持续农户生计研究——以“稻改旱”项目为例
..... 梁义成, 刘 纲, 马东春, 等 (693)
生态系统服务功能管理研究进展 郑 华, 李屹峰, 欧阳志云, 等 (702)
白洋淀流域生态系统服务评估及其调控 白 杨, 郑 华, 庄长伟, 等 (711)
汶川地震灾区生物多样性热点地区分析 徐 佩, 王玉宽, 杨金凤, 等 (718)
土地利用变化对生态系统服务功能的影响——以密云水库流域为例 李屹峰, 罗跃初, 刘 纲, 等 (726)
森林生态效益税对陕西省产业价格水平的影响 黎 洁, 刘峰男, 韩秀华 (737)
海南岛生态系统土壤保持功能空间特征及影响因素 饶恩明, 肖 焰, 欧阳志云, 等 (746)
居民对文化林生态系统服务功能的认知与态度 高 虹, 欧阳志云, 郑 华, 等 (756)
青海省三江源自然保护区生态移民补偿标准 李屹峰, 罗玉珠, 郑 华, 等 (764)
张家界武陵源风景区自然景观价值评估 成 程, 肖 焰, 欧阳志云, 等 (771)
国家生态保护重要区域植被长势遥感监测评估 侯 鹏, 王 桥, 房 志, 等 (780)
都江堰市水源涵养功能空间格局 傅 斌, 徐 佩, 王玉宽, 等 (789)
汶川地震重灾区生态系统碳储存功能空间格局与地震破坏评估 彭 怡, 王玉宽, 傅 斌, 等 (798)

前沿理论与学科综述

- “波特假说”——生态创新与环境管制的关系研究述评 董 颖, 石 磊 (809)
生态环境保护与福祉 李惠梅, 张安录 (825)
丛枝菌根真菌最新分类系统与物种多样性研究概况 王宇涛, 辛国荣, 李韶山 (834)

个体与基础生态

- “蒸发悖论”在秦岭南北地区的探讨 蒋 冲, 王 飞, 刘思洁, 等 (844)
内蒙古荒漠草原主要草食动物食性及其营养生态位 刘贵河, 王国杰, 汪诗平, 等 (856)
基于面向对象及光谱特征的植被信息提取与分析 崔一娇, 朱 琳, 赵力娟 (867)
桉树叶片光合色素含量高光谱估算模型 张永贺, 陈文惠, 郭乔影, 等 (876)
枫杨幼苗对土壤水分“湿-干”交替变化光合及叶绿素荧光的响应 王振夏, 魏 虹, 吕 茜, 等 (888)
模拟淹水对杞柳生长和光合特性的影响 赵竑绯, 赵 阳, 张 驰, 等 (898)
梨枣花果期耗水规律及其与茎直径变化的相关分析 张琳琳, 汪有科, 韩立新, 等 (907)
基于上部叶片 SPAD 值估算小麦氮营养指数 赵 舜, 姚 霞, 田永超, 等 (916)

种群、群落和生态系统

- 我国南亚热带几种人工林生态系统碳氮储量 王卫霞, 史作民, 罗 达, 等 (925)

- 低效柏木纯林不同改造措施对水土保持功能的影响..... 黎燕琼, 龚固堂, 郑绍伟, 等 (934)
浙江紧水滩水库浮游植物群落结构季节变化特征..... 张 华, 胡鸿钧, 晁爱敏, 等 (944)
黑龙江凤凰山国家级自然保护区野猪冬季容纳量及最适种群密度 孟根同, 张明海, 周绍春 (957)
云南苍山火烧迹地不同恢复期地表蜘蛛群落多样性..... 马艳滟, 李 巧, 冯 萍, 等 (964)

景观、区域和全球生态

- 基于综合气象干旱指数的石羊河流域近 50 年气象干旱特征分析 张调风, 张 勃, 王有恒, 等 (975)
基于 CLUE-S 模型的湟水流域土地利用空间分布模拟 冯仕超, 高小红, 顾 娟, 等 (985)

研究简报

- 三大沿海城市群滨海湿地的陆源人类活动影响模式..... 王毅杰, 俞 慎 (998)
洋河水库富营养化发展趋势及其关键影响因素..... 王丽平, 郑丙辉 (1011)

期刊基本参数:CN 11-2031/Q * 1981 * m * 16 * 350 * zh * P * ¥ 90.00 * 1510 * 36 * 2013-02



封面图说:卧龙自然保护区核桃坪震后——汶川大地震是新中国成立以来破坏性最强、波及范围最大的一次地震, 地震的强度、烈度都超过了 1976 年的唐山大地震。在这次地震中, 震区的野外大熊猫受到不同程度的影响, 卧龙自然保护区繁育中心的赠台大熊猫团团、圆圆居住的屋舍上方巨石垮塌, 房舍全部毁坏, 只因两只熊猫在屋外玩耍逃过一劫。不过, 圆圆一度因惊恐逃走, 失踪 5 天后才被找回来。由于繁育基地两面山体滑坡, 竹子短缺等原因, 繁育基地只能将大熊猫全部转移下山。

彩图提供: 陈建伟教授 北京林业大学 E-mail: cites.chenjw@163.com

DOI: 10.5846/stxb201206280908

张琳琳, 汪有科, 韩立新, 刘守阳, 李晓彬. 梨枣花果期耗水规律及其与茎直径变化的相关分析. 生态学报, 2013, 33(3): 0907-0915.

Zhang L L, Wang Y K, Han L X, Liu S Y, Li X B. Water consumption of pear jujube trees (*Ziziphus jujuba* Mill.) and its correlation with trunk diameter during flowering and fruit development periods. Acta Ecologica Sinica, 2013, 33(3): 0907-0915.

梨枣花果期耗水规律及其与茎直径变化的相关分析

张琳琳^{1,2}, 汪有科^{1,3,*}, 韩立新^{1,2}, 刘守阳³, 李晓彬²

(1. 中国科学院水利部水土保持研究所,杨凌 712100;2. 中国科学院研究生院,北京 100049;

3. 西北农林科技大学水利与建筑工程学院,杨凌 712100)

摘要:设置4个水分处理,研究了4年生梨枣2010年及2011年花果期不同供水条件下土壤水分动态和耗水规律,分析了梨枣日耗水量与茎直径变化间的相关性,建立回归模型。结果表明:(1)2a内各处理梨枣耗水量随土壤供水量的增加而增大,其日耗水量最大值均出现在灌水后1周内;各处理果实膨大期日耗水强度大于开花坐果期。(2)2a内各处理茎直径日变化平均值(MTD)、茎直径日最大值(MXTD)均符合Logistic函数关系,MXTD与MTD在表征梨枣茎秆生长规律方面效果一致,各处理茎直径变化指标(MTD、MXTD)增长率因水分处理的不同而存在差异。(3)高水分(T1处理)条件下茎直径变化指标(MTD、MXTD、MDS(茎直径日最大收缩量)、DG(茎直径日生长量))在表征枣树耗水状况方面不敏感;在低水分(T4处理)条件下,日耗水量与茎直径日最大收缩量(MDS)相关系数较其他3个茎直径变化指标(MTD、MXTD、DG)高且达极显著水平,说明MDS能够更好的表征低水分处理的梨枣耗水规律。在此基础上建立耗水量与茎直径变化回归模型,为评价梨枣耗水状况提供依据。

关键词:梨枣; 日耗水量; 耗水规律; 敏感指标; 相关分析

Water consumption of pear jujube trees (*Ziziphus jujuba* Mill.) and its correlation with trunk diameter during flowering and fruit development periods

ZHANG Linlin^{1,2}, WANG Youke^{1,3,*}, HAN Lixin^{1,2}, LIU Shouyang³, LI Xiaobin²

1 Soil and Water Conservation and Ecological Environment Research Center, Chinese Academy of Sciences and Ministry of Water Resources, Yangling, Shaanxi 712100, China

2 Graduate University of Chinese Academy of Science, Beijing 100049, China

3 College of Water Resources and Architectural Engineering, Northwest A&F University, Yangling, Shaanxi 712100, China

Abstract: Pear jujube (*Ziziphus jujuba* Mill.) as a common tree crop in the Loess Plateau region of China, but its ecological and economic benefits have failed to be fully realized because of the shortage of water resources. Therefore, improving jujube yield and water use efficiency are key goals. Studies of the water deficit index and water consumption rules can help to design more optimal irrigation systems and improve water use efficiency. In 2010 and 2011, we studied the water consumption of 4-year-old jujube plants subjected to one of four soil water treatments during their flowering and fruit development periods. We analyzed the correlation of water consumption to variation in trunk diameter and established a regression model. Our goal was to determine how pear jujube stem diameter responded to water conditions during the flowering and fruit development periods to determine a suitable water deficit index to use in building irrigation systems. The flowering and fruit development periods of pear jujube are critical water demand periods. Because these two processes define the main period of reproductive growth, they determine the quantity, volume, weight, and yield of fruit. Stem diameter

基金项目:国家科技支撑计划(2011BAD29B04);陕西省科技统筹创新工程(2011KTCL02-02)

收稿日期:2012-06-28; 修订日期:2012-10-26

*通讯作者 Corresponding author. E-mail: gjzyk@vip.sina.com

change indexes included daily mean trunk diameter (MTD), daily maximum trunk diameter (MXTD), maximum daily shrinkage in trunk diameter (MDS), and daily growth of stem diameter (DG). The results indicated that (1) the tree water use increased with an increase in soil water content. Regardless of the treatment differences in soil water conditions, the maximum daily water use all occurred during the week following irrigation, and water consumption during the fruit expansion stage was greater than in flowering and fruit set stages. (2) Two years of experimental data proved that the logistic function could precisely express the changes in MTD and MXTD in the critical water demand periods of jujube, so these two indexes were equivalent in terms of assessing jujube trunk diameter growth during the study period, even though the growth rate varied annually and among treatments. (3) Under the high-water treatment, the indices derived from the trunk diameter (MTD, MXTD, MDS, and DG) were not sensitive to water consumption, while in the low-water treatment, MDS had a highly significant correlation with daily water use compared with the other indexes, indicating its potential as an indicator of jujube water consumption under water deficit conditions. The regression model between water consumption and trunk diameter that we established can be used to analyze the sensitivity of stem diameter variation to water deficit and to detect the water consumption status of pear jujube trees.

Key Words: pear jujube; daily water consumption; law of daily water consumption; sensitive indexes; correlation analysis

红枣作为陕北的一种特色经济林,近年来在国家退耕还林(草)政策的支持下得到了迅速发展,种植面积达到近7万hm²^[1]。陕北地处半干旱气候区,自然降雨无法充分满足枣树耗水要求,水资源短缺成了限制枣林产量和经济效益提高的重要因素^[2]。汪有科等^[3-4]集成创新了山地枣林集雨微灌技术,极大提高了枣树的产量和水分利用效率。而对于枣树水分亏缺指标和耗水规律的研究,有助于制定精确灌溉制度,进一步提高水分利用效率。

基于植物自身的水分信息直接与土壤水分状况和作物产量关联,因此比一些非生物水分信息指标更可靠^[5]。作物受到水分胁迫时往往是生长指标更敏感^[6-7]。为此基于植物自身的水分亏缺指标已成为指导灌溉指标的发展趋势,包括茎水势(ψ_{stem})、叶水势(ψ_{leaf})、茎直径变化(TDV)等,对此前人进行了一些研究^[8-10]。与茎水势和叶水势相比,茎直径微变化具有简单易行、对植株不具破坏性、可连续监测、自动记录并准确获取植物体内水分信息的优点,因而被认为是最有潜力表示植物水分状况和指导灌溉制度制定的指标^[11]。Intrigliolo等^[12]得出茎杆水势(ψ_{stem})和茎直径日最大收缩量(MDS)都能够很好的反映植物的水分状态,可以作为灌溉控制指标。Fernanda等^[13]用叶水势、气体交换、液流和茎杆直径变化指标来检测柠檬树的水分胁迫状态,得出MDS是指示成年柠檬树水分亏缺,制定灌溉制度的良好指标。

试验地(米脂)红枣在生长季节理论耗水438.8 mm,花果期是指开花坐果期和果实膨大期,同时花果期也是红枣的关键需水期^[14],这两个时期是生殖生长的主要时期,关系着果实的数量、体积、单果重和产量。本文通过监测不同土壤水势处理条件下,2a中梨枣花果期(2010年7月8日—9月4日,2011年6月26日—8月26日)土壤含水量动态变化以及茎直径微变化,通过二者相关关系的分析,试图找到梨枣花果期茎直径变化对水分条件的响应机制,确定适宜水分亏缺指标,为建立灌溉制度提供依据。

1 材料与方法

1.1 试验区概况

试验于2010年7月8日—9月4日和2011年6月26日—8月26日在米脂县银州镇孟岔村山地微灌枣树示范基地进行。米脂县位于黄土高原丘陵沟壑区,属于中温带半干旱性气候,昼夜温差大,日照充足,适宜果树生长。年平均降雨量451.6 mm,主要集中在7—9月。试验地土质为黄绵土,容重1.29 g/cm³,0—100 cm计划湿润层的田间持水量(FWC)为23% (质量含水量)。

试验小区规格为6 m×1 m×1 m,采用水泥砌墙与周围土壤隔离并用塑料布进行防渗,使小区土壤环境为封闭系统。小区上方安装防雨棚以消除自然降雨对试验的影响。灌溉方式采用地面滴灌,为提高灌溉均匀性,

每小区布设2条毛管,毛管上等距安装4个滴头,滴头流量为4 L/h。供试材料为2009年4月移栽于子洲县的3年生梨枣树,株行距为1m×2m。试验梨枣树形修剪均一,长势良好,平均主干茎直径4.05 cm,平均树高89.67 cm,平均冠幅半径45.98 cm。

1.2 试验处理

试验共设计4个土壤水势水平,如表1所示。其中2010年T4处理水势设置是由试验初期的-311kPa开始,一直不灌水直到果实萎蔫,之后对该区进行灌水至-311kPa。2011年T4处理水势设置是由前期的水分胁迫处理分3次灌水至-41 kPa,后期逐步进入干旱。每个处理自成一个小区,每小区3棵树,单株视为1次重复。灌水量用控制灌溉配套数采(GP1,德国Ecomatik公司生产)自动控制,当土壤水势小于设定的土壤水势下限时,每30 min自动灌水5 min,直到土壤水势大于土壤水势上限停止灌溉。

表1 各处理土壤水势设置

Table 1 The set of soil water potential in different treatments

年份 Year	处理 Treatment	控制土壤水势范围/kPa Soil water potential	土壤含水量/(cm ³ /cm ³) Water content
2010	T1	-41—-51	0.233—0.196
	T2	-68—-84	0.151—0.123
	T3	-96—-135	0.101—0.082
	T4	-311—果实萎蔫—-311	0.061—果实萎蔫—0.061
2011	T1	-41—-51	0.233—0.196
	T2	-41—-84	0.233—0.123
	T3	-61—-135	0.167—0.082
	T4	水分胁迫—-41—干旱	水分胁迫—0.233—干旱

1.3 观测指标与方法

土壤水势 用平衡式土壤水分张力计(EQ15:Equilibrium Tensiometer)监测土壤水势,测量范围为0—-1500 kPa。每小区安装3个土壤水势仪探头,埋设深度均为30 cm,一个水势仪探头与GP1相连,用来控制灌溉。其他探头与DL2e型数据采集器(英国剑桥,Delta Device)相连,每30 min自动记录1次数据。本文中土壤含水量为测得的土壤水势值通过土壤水分特征曲线转换而来,转换公式如下:

$$\theta = 0.058 + (0.402 - 0.058) / (1 + (-B_1 \times 0.016)^{1.71})^{1.71}$$

式中,B₁为土壤水势值(kPa);θ为土壤体积含水量(cm³/cm³)。

梨枣耗水量为当日土壤含水量平均值与次日土壤含水量平均值之差,是基于水量平衡条件下的枣林地总耗水量,包括土壤蒸发量和枣树蒸腾量,也称为梨枣蒸散量。

茎秆直径微变化:茎秆直径微变化采用DD型线性差分径向变化仪(简称LVDT,德国Ecomatik公司生产)连续测定。在每棵树安装一个探头,探头通过不胀钢框架安装在样树主干距地面15 cm处的北向,安装前用木锉轻刮树干的死皮,以确保LVDT框架牢固和探头与主干接触良好,用隔热银箔纸包裹探头,以防风、气温和降雨等对探头测量精度的影响。所有探头与DL2e型数据采集器相连,每30 min自动记录1次数据。

茎直径的日变化呈“U”型,通常茎直径日最大值(MXTD)出现时间为8:00左右,茎直径日最小值(MNTD)出现时间为16:00^[8, 15]。茎秆收缩大多发生在木质部外围的活组织中,其细胞具有弹性较强的细胞壁,因而当水分从中抽出时细胞体积就将减小^[16]。夜间蒸腾停止后,若土壤水分充足,根系吸收的水分补充茎损失的水分使茎秆膨胀,茎秆复原或伴有生长;反之,茎秆不能复原(图1)。茎直径日最大收缩量(MDS)为MXTD与MNTD之差,连续两天的MXTD或者MNTD之差为茎直径日生长量(DG),本试验采用两天的MXTD之差作为DG,日茎秆变化平均值为茎直径日变化平均值(MTD),RT为日复原时间,取两天MXTD出现的时间段,若大于24h,则以24h为准,不能完全复原则以24h计算(图1)。

本文各处理所选数据均为3个重复的平均值,采用SPSS和Excel软件进行数据统计分析,Origin Pro 8.0

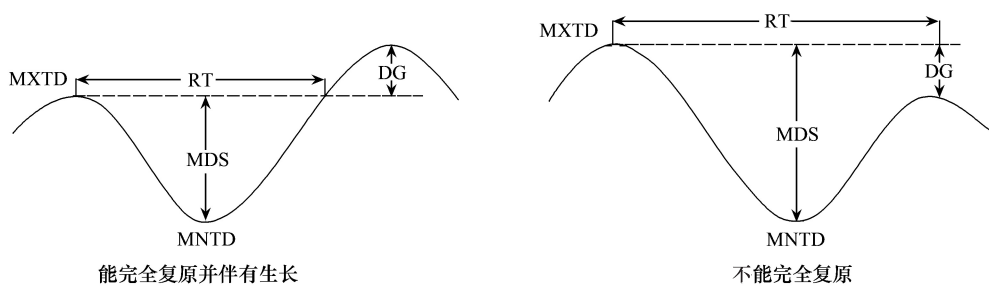


图1 茎秆直径生长日变化

Fig. 1 Daily fluctuations of trunk diameter

MXTD: 茎直径日最大值, Daily maximum trunk diameter; MNTD: 茎直径日最小值, Daily minimum trunk diameter; MDS: 茎直径日最大收缩量, Maximum daily shrinkage in trunk diameter; DG: 茎直径日生长量, Daily growth of stem diameter; RT: 日复原时间, Recovery time

绘图。

2 结果与分析

2.1 梨枣花果期土壤含水量动态

图2是2010年4个处理在梨枣花果期土壤含水量动态变化(竖直箭头指示各处理灌水日期)。试验初期4个处理的土壤含水量明显不同,随着试验的进行,各小区进入预设的土壤含水量范围。在控制灌溉期间,T1处理土壤含水量在0.190—0.304 cm³/cm³范围波动,于7月30日、8月24日进行灌溉,灌水量为121.45 mm,土壤含水量平均为0.238 cm³/cm³;T2处理在0.122—0.278 cm³/cm³范围波动,8月7日和8月24日各灌水1次,灌水量138.99 mm,土壤含水量平均值为0.192 cm³/cm³;T3处理在0.082—0.244 cm³/cm³范围波动,试验于8月24日灌水1次,灌水量125.13 mm,其土壤含水量平均值为0.146 cm³/cm³;T4处理在0.058—0.163 cm³/cm³范围波动,期间于8月13日果实萎蔫时灌水,灌水量0.033 mm,其土壤含水量平均值为0.078 cm³/cm³。

2011年4个处理的土壤含水量波动范围不同(图2)。T1处理在0.194—0.239 cm³/cm³之间波动,试验期间分别于6月27日、7月13日、7月27日和8月10日灌水,灌水量总计118.6 mm,土壤含水量平均为0.216 cm³/cm³;T2处理在0.121—0.234 cm³/cm³范围波动,分别于6月29日和7月28日各灌水1次,灌水量112.8 mm,其土壤含水量平均为0.177 cm³/cm³;T3处理的土壤含水量波动范围为0.082—0.178 cm³/cm³,于6月27日、7月14日和8月1日灌水,灌水量总计106.8 mm,土壤含水量平均为0.135 cm³/cm³;T4处理由最初的土壤含水量0.059 cm³/cm³,于6月26日、7月2日和7月11日各灌水1次,在7月14日土壤含水量达最大值0.24 cm³/cm³,总灌水量148.4 mm,随后土壤含水量随时间的推移逐渐变小,其土壤含水量平

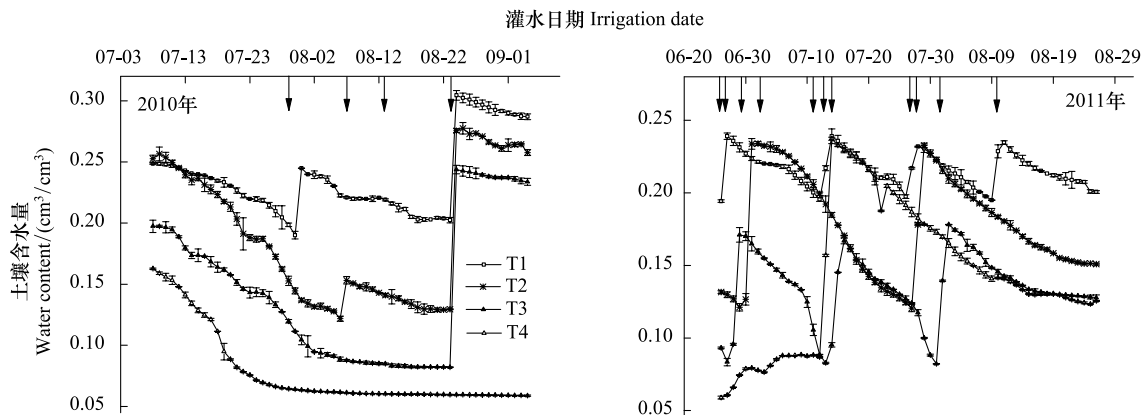


图2 梨枣花果期土壤含水量动态变化

Fig. 2 Dynamic trend of soil water content of pear jujube trees on flowering and fruit development periods in different treatments

均为 $0.142 \text{ cm}^3/\text{cm}^3$ 。

灌水后,所有处理的土壤水分消耗速率均明显表现出前期大于后期,一方面因为灌水初期表层土壤含水量比后期高,土壤水分状况较好,蒸发剧烈,土壤水分消耗速率快^[17];另一方面经过一定程度干旱处理,梨枣树复水后根系生长活性增强,吸水速率增大。各处理2010年灌水频率低于2011年,说明随着树龄的增长,枣树根系活动加快,土壤水分变化加大,灌水频数增多。

2.2 梨枣花果期茎直径动态

在梨枣花果期,各处理茎直径日变化平均值(MTD)符合Logistic函数关系,相关系数 R^2 在0.96以上且均达到显著性水平($P<0.05$)(图3),说明土壤含水量对MTD的变化趋势没有影响,各年内MTD曲线变化规律一致,均呈不同程度的递增趋势,这说明各处理下梨枣树的茎直径均能复原并伴随着生长。2a内各处理MTD增长率因土壤含水量以及树龄的不同而存在差异。2010年4个处理增长率 $T_1>T_2>T_3>T_4$,分别为

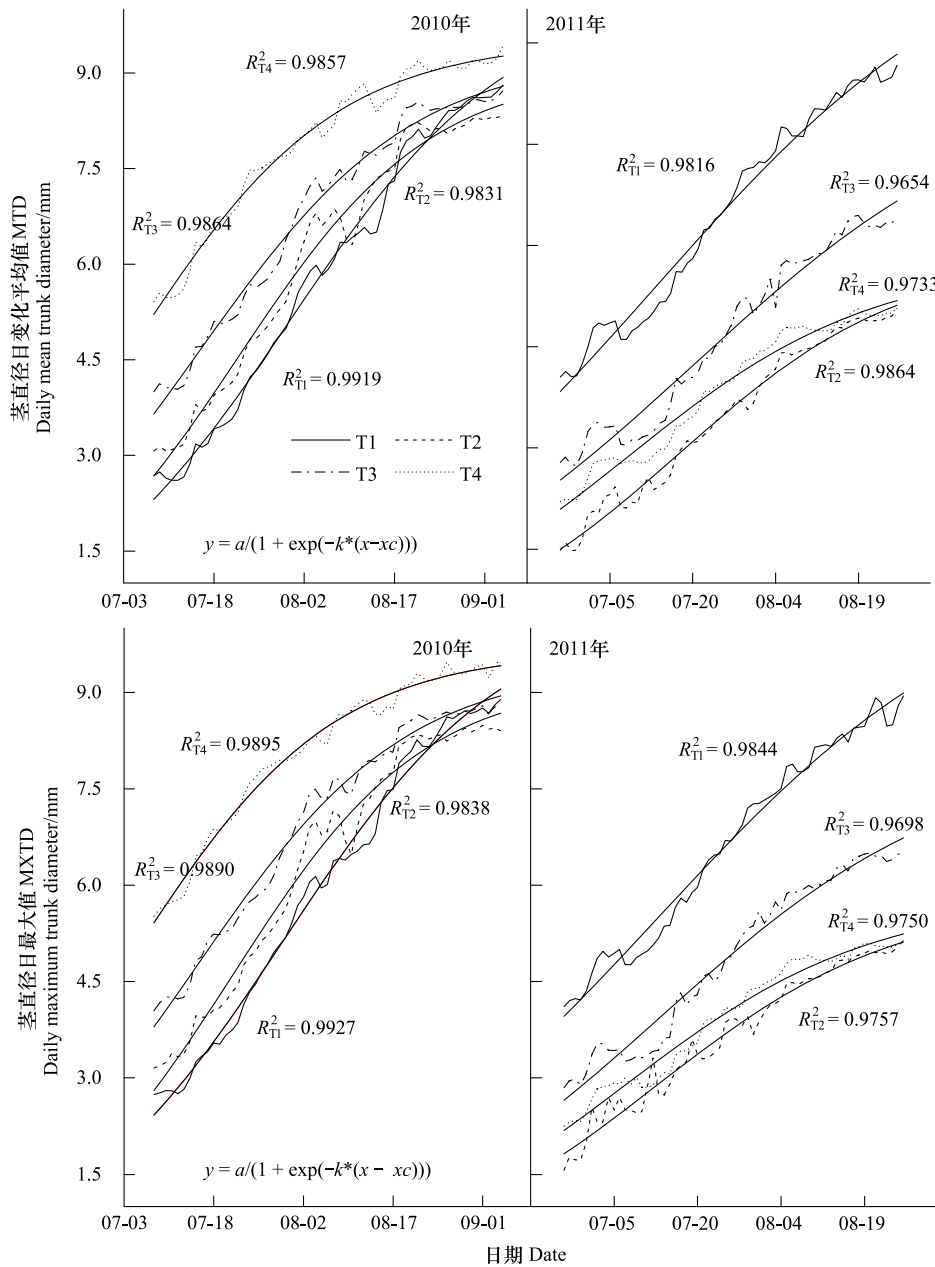


图3 梨枣花果期茎直径微变化指标动态变化

Fig. 3 The daily change of trunk diameter variation derived indexes during flowering and fruit development periods

2.28、1.71、1.18、0.74,高水分处理(T1)MTD 增长率最大,低水分处理(T4)MTD 递增幅度最小,说明该时期为该树龄枣树提供充足的水分有助于茎秆直径的增粗。2011年各处理增长率为 T2>T3=T4>T1,控制灌溉的T2 处理增长率最大(2.30),其次是 T3 和 T4 处理(1.25),高水分的 T1 处理增长率最低(1.08),说明低水分处理有助于梨枣茎秆直径的生长,同时随着树龄的变化,梨枣生命活动不同,对水分的需求也不同,这与 2011 年李晓彬的结论一致^[18]。在试验前期(开花坐果期)MTD 增长较快,这是由于开花坐果期果实较小,对水分和营养的需要量较小,营养生长占有一定优势,在果实膨大期后期 MTD 变化平缓,此时生殖生长占优势,水分在果实时形成过程中起着关键作用^[16, 19]。

茎直径日最大值(MXTD)曲线变化规律总体趋势与 MTD 一致,同样符合 Logistic 函数关系,变化规律与结论均与 MTD 一致,说明 MXTD 与 MTD 在表征梨枣茎秆生长规律方面效果一致(图 3)。

2.3 梨枣花果期耗水量动态

如图 4 所示梨枣花果期耗水量呈不同的波动趋势。2010 年 T1、T2、T3、T4 处理梨枣耗水量分别在 1.07—3.54 mm、1.08—3.88 mm、0.96—3.25 mm、1—2.4 mm 范围波动,花果期耗水量 T1>T2>T3>T4,分别为 147.82、136.17、110.4、97.668 mm,日均耗水强度 T1>T2>T3>T4,分别为 2.55、2.35、1.90、1.68 mm/d,T1、T2、T3、T4 日耗水量最大值分别出现在 8 月 29 日、8 月 16 日、8 月 27 日、8 月 18 日,均为灌水后,且灌水后 1 周内梨枣耗水量持续增大,之后逐渐减少,耗水曲线呈抛物线状,说明梨枣耗水量随土壤含水量的增加而增大。2a 内各处理耗水量曲线均表现为递增趋势,开花坐果期是枣树营养生长、生殖生长的并进时期,枣树各项生理活动机能增加,树体冠层等属于快速生长期,并且随气温的升高,作物蒸腾加强,枣树对水分的需求日益增加,耗水量增大,此阶段的日耗水强度分别为 2.26、1.91、1.64、1.46 mm/d,可以看出此阶段不同水分处理间耗水量差异较大。果实膨大期日耗水量达最大,此阶段树体各方面生长均达最大状态(包过新梢生长、叶面积等),

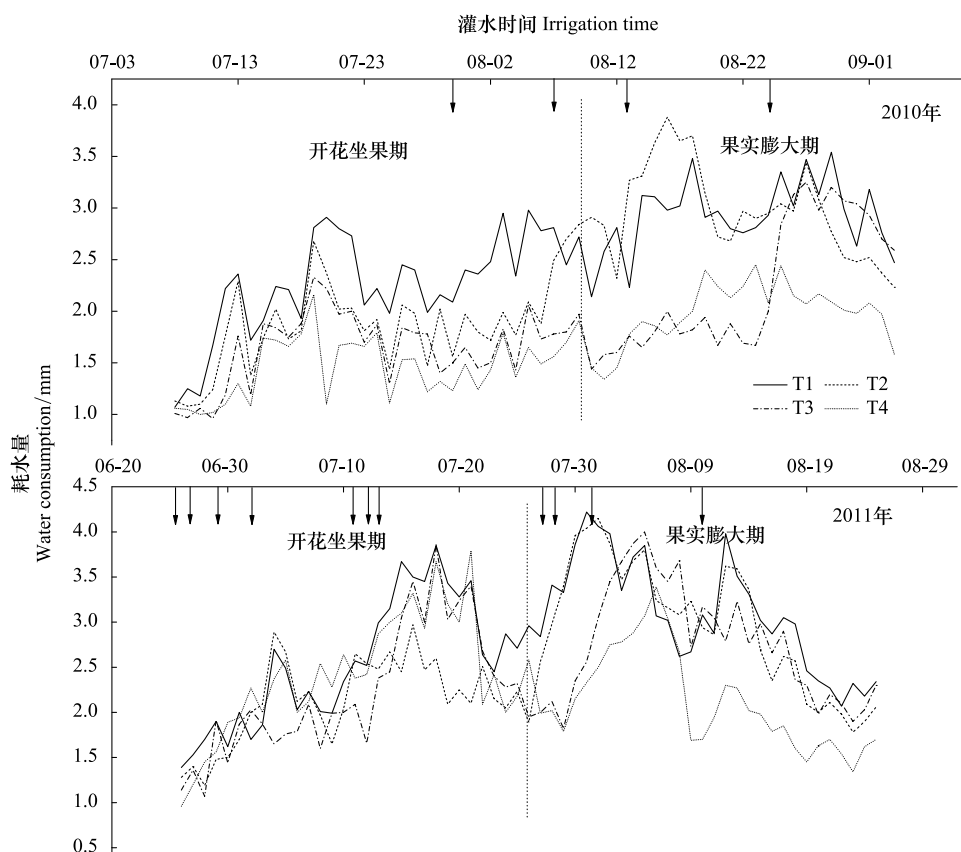


图 4 梨枣花果期耗水量的动态变化

Fig. 4 Dynamic trend of water consumption of pear jujube trees during flowering and fruit development periods under different treatments

新陈代谢旺盛,气温在此时也较高,枣树对水分的需求达到最大,日耗水强度分别为2.93、2.97、2.24、1.98 mm/d,分别是开花坐果期耗水强度的1.30、1.56、1.36、1.35倍。果实膨大后期耗水量明显减少,日变化平缓,此时枣树已逐渐进入成熟前期,耗水量随之减少,另一方面此时枣树的各项生长指标(包括新梢生长、叶面积等)均已达稳定状态,所以日变化平缓。

2011年各处理梨枣耗水量分别在1.39—4.22、1.19—4.15、1.07—4.0、0.96—3.79 mm范围波动,花果期耗水量T1>T2>T3>T4,分别为171.66、155.45、151.87、138.23 mm,日耗水强度T1>T2>T3>T4,分别为2.81、2.55、2.50、2.27 mm/d,各处理日耗水量最大值均出现在灌水后一周内,与2010年规律一致。可以看出2011年各处理花果期耗水总量与日耗水强度均高于2010年,说明一方面随着树龄的增大,植株体形增大,各项生命活动增强,对水分等的需求增多,耗水量增加,另一方面年际间气候因子的不同,也是影响梨枣耗水量不同的主要因子^[20-21]。

2.4 梨枣花果期日耗水量与茎直径变化指标的相关分析

在茎直径变化指标(MTD、MXTD、MDS、DG)中,2010年T1处理的日耗水量仅与MDS呈极显著相关,相关系数0.448,而2011年的T1处理的日耗水量与各茎直径变化指标相关性均不显著,可见高水分条件下茎直径变化指标在表征枣树耗水状况方面不敏感。T2、T3作为调亏灌溉的水分处理,其日耗水量与茎直径变化指标(除DG外)呈极显著相关关系,说明梨枣茎直径变化指标(MTD、MXTD、MDS)可以作为适当调亏灌溉处理的枣树敏感性指标。2a中T4作为低水分处理,其日耗水量与茎直径动态指标(除DG)呈极显著相关,这说明枣树茎直径变化指标(MTD、MXTD、MDS)能够很好的表征低水分处理的枣树耗水状况,其中MDS能够更好的表征这一耗水状况,其相关系数最大达0.858。2a试验中DG只与2010年T4处理以及2011年T2处理枣树日耗水量相关性显著,其他处理均不显著,这可能是由于影响DG的因素较为复杂,与单因素间的线性相关性不显著。2a中不同水分处理的MTD、MXTD与耗水量相关性一致,这说明这两个指标在表征枣树日耗水量方面效果相同。

由表3可以建立线性回归模型为 $y_i = ax_j$,式中y为耗水量;a为回归系数;x为茎直径变化指标;i=T1,T2,T3,T4;j=MTD,MXTD,MDS,DG。由表2、表3可以看出,耗水量与茎直径变化指标间相关性越显著且相关系数越大,线性回归时决定系数则越大,显著水平越高。如2010年T1处理MDS对耗水量作用极显著,且决定系数最大,其他茎直径指标作用不显著。2a中低水分T4处理中MTD、MXTD、MDS均对耗水量作用极显著,且决定系数大于其他水分处理。说明该回归模型可为低水分处理下梨枣耗水状况提供依据。

表2 梨枣花果期日耗水量与茎秆直径指标值的相关分析

Table 2 Correlation analysis between pear jujube daily water consumption and trunk diameter variation derived indexes during flowering and fruit development periods

2010年	处理 Treatments								
	T1	T2	T3	T4	2011年	T1	T2	T3	T4
MTD	-0.134	-0.463 **	-0.578 **	-0.852 **	MTD	-0.209	-0.405 **	-0.567 **	-0.462 **
MXTD	-0.123	-0.460 **	-0.562 **	-0.847 **	MXTD	-0.207	-0.414 **	-0.544 **	-0.413 **
MDS	0.448 **	0.111	0.410 **	0.858 **	MDS	0.204	-0.045	0.288 *	0.647 **
DG	0.142	0.095	0.211	0.312 *	DG	0.19	0.293 *	0.048	0.06

MXTD: 茎直径日最大值,Daily maximum trunk diameter; MNTD: 茎直径日最小值,Daily minimum trunk diameter; MDS: 茎直径日最大收缩量,Maximum daily shrinkage in trunk diameter; DG: 茎直径日生长量,Daily growth of stem diameter; RT: 日复原时间,Recovery time; * 表示相关显著($P<0.05$), ** 表示相关极显著($P<0.01$)

3 结论及讨论

(1)通过连续2a对梨枣花果期耗水状况的研究表明,梨枣耗水量随着土壤供水量的增加而增大,各个处理日耗水量最大值均出现在灌水后1周内,在2a中高水分处理(T1)耗水量最大,花果期梨枣日耗水强度均为T1>T2>T3>T4,足以证明梨枣耗水量随着土壤供水量的增加而增大,这与汪耀富^[22]研究的烤烟蒸腾耗水

量的结论一致。

(2) 梨枣树日耗水量受生育期、树龄以及气候的影响。2a 内各处理耗水量曲线均表现为递增趋势, 枣树在开花坐果期各项生理机能趋于活跃, 耗水量递增, 在果实膨大期耗水达到最大值。果实膨大期树体各项生理机能均达到最活跃状态, 耗水量最大, 各处理耗水强度也均高于同处理的开花坐果期, 这与 2010 年胡永翔^[23]的研究结果一致。2011 年各处理花果期耗水总量与日均耗水强度均高于 2010 年, 说明一方面随着树龄的增加, 枣树树体增大, 生命活动加强, 耗水量增加, 另一方面年际间气候差异, 也是影响梨枣耗水量关键因素^[20-21]。

表 3 梨枣花果期日耗水量与茎秆直径指标值的线性回归

Table 3 Linear regression between pear jujube daily water consumption and trunk diameter variation derived indexes during flowering and fruit development periods

年份 Year	处理 Treatment	MTD			MXTD			MDS			DG		
		a	R ²	sig	a	R ²	sig	a	R ²	sig	a	R ²	sig
2010 年	T1	-0.101	0.018	0.318	-0.093	0.015	0.359	5.384	0.201	0	1.88	0.02	0.287
	T2	-0.55	0.215	0	-0.543	0.212	0	2.003	0.012	0.408	1.329	0.009	0.477
	T3	-0.695	0.334	0	-0.675	0.315	0	6.431	0.168	0.001	3.367	0.045	0.111
	T4	-1.218	0.727	0	-1.228	0.718	0	4.403	0.165	0.002	4.697	0.098	0.017
2011 年	T1	-0.204	0.044	0.105	-0.201	0.043	0.11	2.243	0.041	0.116	2.186	0.036	0.143
	T2	-0.662	0.213	0	-0.651	0.171	0.001	4.233	0.419	0	0.547	0.004	0.644
	T3	-0.747	0.321	0	-0.725	0.296	0	2.448	0.083	0.024	0.615	0.002	0.712
	T4	-0.593	0.164	0.001	-0.614	0.171	0.001	5.378	0.423	0	4.997	0.086	0.022

sig<0.05 表示显著, sig<0.01 表示极显著

(3) 通过连续 2a 对梨枣花果期茎直径动态变化有关指标的研究表明, 各处理 MTD、MXTD 的变化规律一致, 均符合 Logistic 函数关系, 各指标(MTD、MXTD) 增长率因水分处理不同而存在差异, 说明 MTD、MXTD 可以作为树体生长状况的监测指标。

(4) 茎直径微变化各指标均受土壤水分的影响, 但影响程度不同。2a 不同水分处理 MTD、MXTD 与耗水量的相关性一致, 二者表征植物与土壤水分关系的作用相同。以 T1 处理为例, 2a 间与耗水量显著相关的指标并不相同, 这与 Morales^[24] 和 Moreno^[15] 研究认为茎直径变化与树龄有关的结论一致。2a 中 T4 为低水分处理, 其日耗水量与 MDS 相关系数较其他 3 个处理高且达到极显著水平, 说明 MDS 在一定水分亏缺条件下能够很好的表征枣树耗水规律, 与 Moreno^[15] 对橄榄树以及 Ruiz-Sánchez^[11] 对柠檬树得出 MDS 可以作为植物水分亏缺敏感性指标的研究结果相一致。Moriana^[24] 等研究认为茎直径微变化与物候期和生育期有关, 果实的生长、成熟和采摘直接影响到茎直径微变化, 所以分生育期分析 MTD、MXTD、MDS 与不同处理枣树日耗水量相关性意义重大, 有待进一步探讨。

References:

- [1] Wu P T, Wang Y K, Han Y P, Zhao X N. Create and enlightenment of ecological of Modern agricultural development mode in Mengcha. China Development Observation, 2008, (11): 53-55.
- [2] Shan L. Countermeasures for sustainable development of agriculture in the loess plateau. Agriculture of shaanxi province. Official of shaanxi province of the development of the western region and shaanxi symposium on agricultural development, 2000, 4.
- [3] Wang Y K, Xu F L, Xin X G. Research of Application and demonstrate of the micro-irrigation technology in production of date in the hilly of Shanbei. Bulletin of Soil and Water Conservation, 2008, 28(4): 198-204.
- [4] Wu P T, Wang Y K, Xin X G, Zhu D L. Integration and demonstration of the date micro-irrigation technology in the hilly of Shanbei. Agricultural Research in the Arid Areas. 2008, 26(4): 1-6, 12.
- [5] Liu C M, Zhang X Y, Hu C S. SPAC interface water flux control and its application to water-saving in agriculture. Journal of Beijing Normal University(Natural Science), 2009, (Z1):446-451.
- [6] Shan L. Plant drought resistance and semi-dryland farming. Agricultural Research in the Arid Areas, 2007, (1):1-5.
- [7] Remorini D R. Massai. Comparison of water status indicators for young peach trees. Irrigation Science, 2003, 22(1): 39-46.

- [8] Goldhamer D A , Fereres E. Irrigation scheduling of almond trees with trunk diameter sensors. *Irrigation Science*, 2004, 23(1) : 11-19.
- [9] Ortúñ M, Conejero W, Moreno F, Moriana A, Intrigliolo D, Biel C, Mellisho C, Pérez-Pastor A, Domingo R, Ruiz-Sánchez M. Could trunk diameter sensors be used in woody crops for irrigation scheduling, A review of current knowledge and future perspectives. *Agricultural Water Management*, 2010, 97(1) : 1-11.
- [10] Fernández J, Cuevas M. Irrigation scheduling from stem diameter variations: A review. *Agricultural and Forest Meteorology*, 2010, 150(2) : 135-151.
- [11] Kozlowski T, Winget C. Diurnal and seasonal variation in radii of tree stems. *Ecology*, 1964, 45(1) : 149.
- [12] Intrigliolo D S , Castel J R. Continuous measurement of plant and soil water status for irrigation scheduling in plum. *Irrigation Science*, 2004, 23 (2) : 93-102.
- [13] Ortúñ M, García-Orellana Y, Conejero W, Ruiz-Sánchez M, Alarcón J, Torrecillas A. Stem and leaf water potentials, gas exchange, sap flow, and trunk diameter fluctuations for detecting water stress in lemon trees. *Trees - Structure and Function*, 2006, 20(1) : 1-8.
- [14] Li X B, Wang Y K, Zhao C H, Wang Y, Zhang Y Y, Wang X, Zhang J G. Effect of regulated irrigation on input-output benefits of pear jujube. *Chinese Journal of Eco-Agriculture*, 2011, (4) : 818-822.
- [15] Conejero W, Alarcón J, García-Orellana Y, Nicolás E, Torrecillas A. Evaluation of sap flow and trunk diameter sensors for irrigation scheduling in early maturing peach trees. *Tree physiology*, 2007, 27(12) : 1753-1759.
- [16] Li X G, Huang J, Song S D, Gao W H. Meterological Factors Affecting Jujube-Yield and Quality of North Shaanxi. *Journal of Northwest Forestry University*, 2004, (4) : 38-42.
- [17] Li J Y, Zhou P, Zhao L J. Influence of Drought Stress on Transpiring Water-consumption of Seedlings. *Acta Ecologica Sinica (in Chinese)*, 2002, 22(9) : 1380-1386.
- [18] Li X B. The Response of Jujube Physical Growth to Soil Water on Loess Region in Yulin. *Graduate university of chinese academy of science (The ministry of education of soil and water conservation and ecological environmental research center)*, 2011.
- [19] Zhang Z B, Zhao X C, Shi Z A, Li G C, Li X L. Effect of ecological factors on the quality of *Ziziphus jujuba* Mill. cv. "Dongzao" fruit. *Chinese Journal of Eco-Agriculture*, 2009, (5) : 923-928.
- [20] Lu G B, Liu X, Liu H. Variation in Water Consumption for Transpiration of Jujube Trees. *Journal of Northeast Forestry University*, 2011, (06) : 38-40+43.
- [21] Zhao C M. Study on the Effect of Physiological Response to Pear-Jujube Tree under RDI. *Northwest A&F University*, 2010.
- [22] Wang Y F, Cai H Y, Li J P, Chen Z G. Relationship between soil moisture and transpirational water-consumption of flue cured tobacco under different water supplying conditions. *Transactions of the Chinese Society of Agricultural Engineering*, 2007, (1) : 19-23.
- [23] Hu Y X. Study on irrigation schedule and crop coefficient of drip irrigation JUJUBE on sloping fields of loess plateau. *Northwest A&F University*, 2010.
- [24] Fereres E, Orgaz F, Castro J, Humanes M, Pastor M, Moriana A. The relations between trunk diameter fluctuations and tree water status in olive trees (*Olea europaea* L.). *International society for horticultural science*, 1999, 293-297.

参考文献:

- [1] 吴普特, 汪有科, 韩宇平, 赵西宁. 孟岱生态型现代农业发展模式创建与启示. *中国发展观察*, 2008, (11) : 53-55.
- [2] 山仑. 黄土高原农业可持续发展的对策. *陕西省农业厅. 陕西省农学会西部大开发与陕西农业发展研讨会论文集*, 2000, 4.
- [3] 汪有科, 徐福利, 辛小桂. 微灌技术在陕北山地红枣生产中的应用示范研究. *水土保持通报*, 2008, 28(4) : 198-204.
- [4] 吴普特, 汪有科, 辛小桂, 朱德兰. 陕北山地红枣集雨微灌技术集成与示范. *干旱地区农业研究*, 2008, 26(4) : 1-6,12.
- [5] 刘昌明, 张喜英, 胡春胜. SPAC 界面水分通量调控理论及其在农业节水中的应用. *北京师范大学学报(自然科学版)*, 2009, (Z1) : 446-451.
- [6] 山仑. 植物抗旱生理研究与发展半旱地农业. *干旱地区农业研究*, 2007, (1) : 1-5.
- [14] 李晓彬, 汪有科, 赵春红, 王颖, 张勇勇, 汪星, 张建国. 水分调控对梨枣果实品质与投入产出效益的影响分析. *中国生态农业学报*, 2011, (4) : 818-822.
- [16] 李新岗, 黄建, 宋世德, 高文海. 影响陕北红枣产量和品质的因子分析. *西北林学院学报*, 2004, (4) : 38-42.
- [17] 李吉跃, 周平, 招礼军. 干旱胁迫对苗木蒸腾耗水的影响. *生态学报*, 2002, 22(9) : 1380-1386.
- [18] 李晓彬. 榆林黄土区梨枣树生理生长对土壤水分的响应研究. *中国科学院研究生院 (教育部水土保持与生态环境研究中心)*, 2011.
- [19] 张兆斌, 赵学常, 史作安, 李公存, 李宪利. 生态因子对冬枣果实品质的影响. *中国生态农业学报*, 2009, (5) : 923-928.
- [20] 卢桂宾, 刘鑫, 刘和. 枣树蒸腾耗水变化规律. *东北林业大学学报*, 2011, (6) : 38-40+43.
- [21] 赵春明. 亏水处理对梨树生理生态指标影响的研究. *西北农林科技大学*, 2010.
- [22] 汪耀富, 蔡寒玉, 李进平, 陈振国. 不同供水条件下土壤水分与烤烟蒸腾耗水的关系. *农业工程学报*, 2007, (1) : 19-23.
- [23] 胡永翔. 陕北黄土高原区坡地枣树灌溉制度及作物系数研究. *西北农林科技大学*, 2010.

ACTA ECOLOGICA SINICA Vol. 33, No. 3 February, 2013 (Semimonthly)
CONTENTS

Ecosystem Service Simulation and Management

- Securing Natural Capital and Human Well-Being: Innovation and Impact in China
..... Gretchen C. Daily, Ouyang Zhiyun, Zheng Hua, et al (677)
Establishment of ecological compensation mechanisms in China: perspectives and strategies
..... OUYANG Zhiyun, ZHENG Hua, YUE Ping (686)
Regional cooperation mechanism and sustainable livelihoods: a case study on paddy land conversion program (PLCP)
..... LIANG Yicheng, LIU Gang, MA Dongchun, et al (693)
Progress and perspectives of ecosystem services management ZHENG Hua, LI Yifeng, OUYANG Zhiyun, et al (702)
Ecosystem services valuation and its regulation in Baiyangdian basin: Based on InVEST model
..... BAI Yang, ZHENG Hua, ZHUANG Changwei, et al (711)
Identification of hotspots for biodiversity conservation in the Wenchuan earthquake-hit area
..... XU Pei, WANG Yukuan, YANG Jinfeng, et al (718)
Effects of land use change on ecosystem services: a case study in Miyun reservoir watershed
..... LI Yifeng, LUO Yuechu, LIU Gang, et al (726)
Impacts of forest eco-benefit tax on industry price levels in Shaanxi Province, China LI Jie, LIU Zhengnan, HAN Xiuhua (737)
Spatial characteristics of soil conservation service and its impact factors in Hainan Island
..... RAO Enming, XIAO Yi, OUYANG Zhiyun, et al (746)
Perception and attitudes of local people concerning ecosystem services of culturally protected forests
..... GAO Hong, OUYANG Zhiyun, ZHENG Hua, et al (756)
Standard of payments for ecosystem services in Sanjiangyuan Natural Reserve LI Yifeng, LUO Yuzhu, ZHENG Hua, et al (764)
Natural landscape valuation of Wulingyuan Scenic Area in Zhangjiajie City
..... CHENG Cheng, XIAO Yi, OUYANG Zhiyun, et al (771)
Satellite-based monitoring and appraising vegetation growth in national key regions of ecological protection
..... HOU Peng, WANG Qiao, FANG Zhi, et al (780)
Spatial Pattern of Water Retention in Dujiangyan County FU Bin, XU Pei, WANG Yukuan, et al (789)
Spatial distribution of carbon storage function and seismic damage in wenchuan earthquake stricken areas
..... PENG Yi, WANG Yukuan, FU Bin, et al (798)

Frontiers and Comprehensive Review

- The Porter Hypothesis: a literature review on the relationship between eco-innovation and environmental regulation
..... DONG Ying, SHI Lei (809)
Ecological protection and well-being LI Huimei, ZHANG Anlu (825)
An overview of the updated classification system and species diversity of arbuscular mycorrhizal fungi
..... WANG Yutao, XIN Guorong, LI Shaoshan (834)

Autecology & Fundamentals

- Evaporation paradox in the northern and southern regions of the Qinling Mountains
..... JIANG Chong, WANG Fei, LIU Sijie, et al (844)
The diet composition and trophic niche of main herbivores in the Inner Mongolia Desert steppe
..... LIU Guihe, WANG Guojie, WANG Shiping, et al (856)
Abstraction and analysis of vegetation information based on object-oriented and spectra features
..... CUI Yijiao, ZHU Lin, ZHAO Lijuan (867)
Hyperspectral estimation models for photosynthetic pigment contents in leaves of *Eucalyptus*
..... ZHANG Yonghe, CHEN Wenhui, GUO Qiaoying, et al (876)
Response of photosynthesis and chlorophyll fluorescence characteristics of *Pterocarya stenoptera* seedlings to submergence and
drought alternation WANG Zhenxia, WEI Hong, LÜ Qian, et al (888)

Effect of flooding stress on growth and photosynthesis characteristics of *Salix integra* ZHAO Hongfei, ZHAO Yang, ZHANG Chi, et al (898)

Water consumption of pear jujube trees (*Ziziphus jujuba* Mill.) and its correlation with trunk diameter during flowering and fruit development periods ZHANG Linlin, WANG Youke, HAN Lixin, et al (907)

Estimation of nitrogen nutrient index on SPAD value of top leaves in wheat ZHAO Ben, YAO Xia, TIAN Yongchao, et al (916)

Population, Community and Ecosystem

Carbon and nitrogen storage under different plantations in subtropical south China WANG Weixia, SHI Zuomin, LUO Da, et al (925)

Impact on water and soil conservation of different bandwidths in low-efficiency cypress forest transformation LI Yanqiong, GONG Gutang, ZHENG Shaowei, et al (934)

Seasonal changes of phytoplankton community structure in Jinsuitian Reservoir, Zhejiang, China ZHANG Hua, HU Hongjun , CHAO Aimin, et al (944)

Winter carrying capacity and the optimum population density of wild boar in fenghuang Mountains National Nature Reserve of Heilongjiang Province MENG Gentong, ZHANG Minghai,ZHOU Shaochun (957)

Diversity of ground-dwelling spider community in different restoring times of post-fire forest, Cangshan Mountain, Yunnan Province MA Yanyan,LI Qiao,FENG Ping,et al (964)

Landscape, Regional and Global Ecology

Drought characteristics in the shiyang river basin during the recent 50 years based on a composite index ZHANG Tiaofeng, ZHANG Bo, WANG Youheng, et al (975)

Land use spatial distribution modeling based on CLUE-S model in the Huangshui River Basin FENG Shichao,GAO Xiaohong,GU Juan,et al (985)

Research Notes

Patterns of terrestrial anthropogenic impacts on coastal wetlands in three city clusters in China WANG Yijie, YU Shen (998)

Eutrophication development and its key affected factors in the Yanghe Reservoir WANG Liping, ZHENG Binghui (1011)

《生态学报》2013 年征订启事

《生态学报》是中国生态学学会主办的生态学专业性高级学术期刊,创刊于 1981 年。主要报道生态学研究原始创新性科研成果,特别欢迎能反映现代生态学发展方向的优秀综述性文章;研究简报;生态学新理论、新方法、新技术介绍;新书评介和学术、科研动态及开放实验室介绍等。

《生态学报》为半月刊,大 16 开本,300 页,国内定价 90 元/册,全年定价 2160 元。

国内邮发代号:82-7,国外邮发代号:M670

标准刊号:ISSN 1000-0933 CN 11-2031/Q

全国各地邮局均可订阅,也可直接与编辑部联系购买。欢迎广大科技工作者、科研单位、高等院校、图书馆等订阅。

通讯地址:100085 北京海淀区双清路 18 号 电 话:(010)62941099; 62843362

E-mail: shengtaixuebao@rcees.ac.cn 网 址: www.ecologica.cn

编辑部主任 孔红梅

执行编辑 刘天星 段 靖

生 态 学 报

(SHENTAI XUEBAO)

(半月刊 1981 年 3 月创刊)

第 33 卷 第 3 期 (2013 年 2 月)

ACTA ECOLOGICA SINICA

(Semimonthly, Started in 1981)

Vol. 33 No. 3 (February, 2013)

编 辑 《生态学报》编辑部
地址:北京海淀区双清路 18 号
邮政编码:100085
电话:(010)62941099
www.ecologica.cn
shengtaixuebao@rcees.ac.cn

Edited by Editorial board of
ACTA ECOLOGICA SINICA
Add: 18, Shuangqing Street, Haidian, Beijing 100085, China
Tel: (010) 62941099
www.ecologica.cn
shengtaixuebao@rcees.ac.cn

主 编 王如松
主 管 中国科学技术协会
主 办 中国生态学学会
中国科学院生态环境研究中心
地址:北京海淀区双清路 18 号
邮政编码:100085

Editor-in-chief WANG Rusong
Supervised by China Association for Science and Technology
Sponsored by Ecological Society of China
Research Center for Eco-environmental Sciences, CAS
Add: 18, Shuangqing Street, Haidian, Beijing 100085, China

出 版 科 学 出 版 社
地址:北京东黄城根北街 16 号
邮政编码:100717

Published by Science Press
Add: 16 Donghuangchenggen North Street,
Beijing 100717, China

印 刷 行 科 学 出 版 社
地址:东黄城根北街 16 号
邮政编码:100717
电话:(010)64034563

Printed by Beijing Bei Lin Printing House,
Beijing 100083, China

订 购 国 外 发 行
全国各 地邮局
中国国际图书贸易总公司
地址:北京 399 信箱
邮政编码:100044

Distributed by Science Press
Add: 16 Donghuangchenggen North
Street, Beijing 100717, China
Tel: (010) 64034563
E-mail: journal@cspg.net

广 告 经 营 许 可 证
京海工商广字第 8013 号

Domestic All Local Post Offices in China
Foreign China International Book Trading
Corporation
Add: P. O. Box 399 Beijing 100044, China

